

บทที่ 1

บทนำ

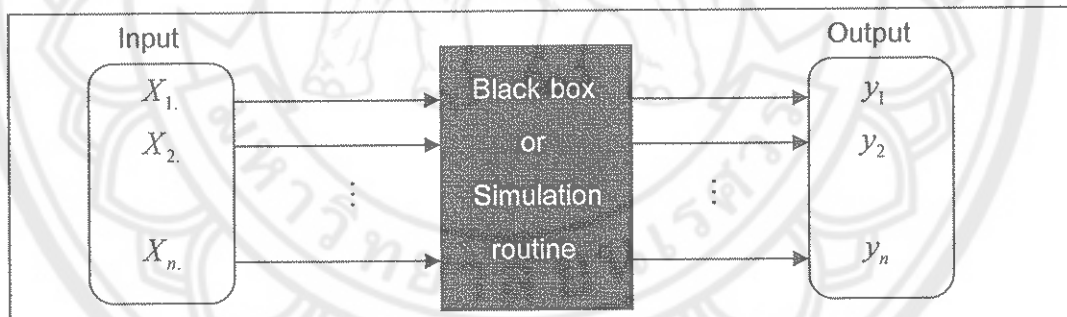
ความเป็นมาของปัญหา

การวางแผนการทดลอง (Design of experiments) คือการออกแบบการทดลองเพื่อเลือกกลุ่มของตัวแปรอิสระที่เหมาะสม จากนั้นจึงนำกลุ่มของตัวแปรอิสระที่ออกแบบมาสร้างแผนการทดลองและเริ่มทำการทดลองเพื่อศึกษาสิ่งที่สนใจต่อไป ซึ่งการวางแผนการทดลองเป็นกระบวนการที่มีความสำคัญเป็นอย่างมาก หากวางแผนการทดลองได้ดีจะส่งผลให้แผนการทดลองที่ได้เป็นแผนการทดลองที่เหมาะสม ตลอดจนได้ตัวแบบทางสถิติที่มีประสิทธิภาพช่วยลดการสูญเสียเวลาและค่าใช้จ่ายที่เกิดจากการทดลอง (Montgomery, 2009) การวางแผนการทดลองทางกายภาพ (Physical experiment) เป็นการทดลองที่ผู้ทดลองสามารถทำการทดลองได้จริง ตัวอย่างของการวางแผนการทดลองทางกายภาพ เช่น การทดลองทางการเกษตรและการทดลองในห้องปฏิบัติการ เป็นต้น ในกรณีที่การวางแผนการทดลองทางกายภาพไม่สามารถทำการทดลองกับหน่วยทดลองได้จริง เนื่องจากมีข้อจำกัดของการทดลอง เช่น ข้อจำกัดในเรื่องของอุปกรณ์ทดลองที่มีราคาแพง ข้อจำกัดด้านกฎหมายที่ไม่อนุญาตให้การทดลองบางประเภท มีอันตรายต่อมนุษย์ที่ถูกนำมาทดลองหรือมีผลกระทบต่อทรัพยากรธรรมชาติและสิ่งแวดล้อม ในประเทศไทยนั้น ๆ เป็นต้น จึงต้องมีการทำการทดลองอีกแบบหนึ่งขึ้นมาที่มีชื่อเรียกว่า การจำลองการทดลองด้วยคอมพิวเตอร์ (Computer simulated experiments: CSE)

CSE จะใช้กระบวนการจำลองทางคณิตศาสตร์มาประมวลผลค่าของระดับต่าง ๆ ของตัวแปรอิสระโดยใช้วิธีเชิงตัวเลข (Numerical method) เช่น รหัสสมาชิกจำกัด (Finite element code) เป็นต้น เพื่อให้ได้ค่าของตัวแปรตามอุปกรณ์และค่าที่ได้จาก CSE จะมีรูปแบบที่แน่นอน (Deterministic) กล่าวคือ เมื่อทำการทดลองภายใต้เงื่อนไขเดียวกันของตัวแปรอิสระจะทำให้ได้ค่าของตัวแปรตามที่คงที่เสมอ (Sacks, et al., 1989) ตัวอย่างของการจำลองการทดลองด้วยคอมพิวเตอร์ คือ การพยากรณ์อากาศ การจัดยาเข้าในกระถางโดยหินของคนไข้ การจำลองรหัสวงจรเพื่อดูจังหวะของนาฬิกา (Sacks, et al., 1989) การจำลองการทำปฏิกิริยาทางเคมี การจำลองภาระเก็บของเหลวเพื่อพยากรณ์การสกัดน้ำมันในชั้นตอนสุดท้ายสำหรับวิศวกรรมปิโตรเคมี (Cheong, 2005) และการพยากรณ์คุณสมบัติของโครงสร้างโลหะภายใต้แรงกดตัน (Koehler and Owen, 1996) เป็นต้น

Simpson, Lin and Chen (2001) ได้อธิบายกระบวนการใน CSE ประกอบด้วย 3 ส่วนคือ

1. การวางแผนการทดลอง เป็นกระบวนการเริ่มต้นใน CSE ที่ประกอบด้วยระดับค่าต่าง ๆ ของตัวแปรอิสระ ในส่วนนี้เป็นการเลือกกลุ่มของตัวแปรอิสระที่ดีที่สุดเข้าไปในส่วนที่ 2 ของกระบวนการทำงานของ CSE
2. กล่องดำ (Black box หรือ Simulation routine) เป็นกระบวนการทำงานที่ไม่สามารถมองเห็นและคาดการณ์ได้ว่าเกิดอะไรขึ้นภายใน กระบวนการในกล่องดำจะใช้รหัสทางคอมพิวเตอร์ (Computer code) เช่น รหัสแมชิกจำกัด (Finite element code) และรหัสพลศาสตร์ของไอล (Fluid dynamic code) เป็นต้น ซึ่งเป็นรูปแบบสมการทางคณิตศาสตร์ที่มีความซับซ้อนในการประมาณผลข้อมูลเพื่อให้ได้ค่าของตัวแปรตามอุปกรณ์ ผลลัพธ์ที่ได้จะเปรียบันตามระดับต่าง ๆ ของตัวแปรอิสระและกระบวนการในส่วนนี้จะใช้เวลาในการประมาณผลเป็นเวลานาน
3. ตัวแบบเพื่อการพยากรณ์ (Approximation model) เกิดจากการนำแผนการทดลอง และผลลัพธ์ที่ได้จากกระบวนการในกล่องดำมาสร้างรูปแบบความสัมพันธ์ที่เหมาะสม เพื่อนำไปใช้ประโยชน์ในการพยากรณ์ต่อไปซึ่งกระบวนการทำงานของ CSE ที่กล่าวข้างต้นนี้แสดงได้ดังภาพ 1



ภาพ 1 แสดงกระบวนการทำงานของ CSE

เนื่องจากกระบวนการของ CSE ที่กล่าวมานี้ข้อจำกัดคือ การประมาณผลข้อมูลใช้เวลานาน และรหัสทางคอมพิวเตอร์มีราคาแพง ดังนั้นการวางแผนการทดลองที่มีประสิทธิภาพจึงเป็นสิ่งที่มีความสำคัญเป็นอย่างมาก กล่าวคือหากแผนการทดลองที่สร้างขึ้นมีจุดทดลองที่กระจายทั่วบริภูมิทดลอง (Design space) จะช่วยประหยัดค่าใช้จ่าย ลดการสิ้นเปลืองเวลาในการประมาณผล และได้ตัวแบบทางสถิติที่มีความแม่นยำในการพยากรณ์สูง

โดยทั่วไปกระบวนการทำงานของ CSE จะใช้ตัวแบบ Kriging (Kriging model) ควบคู่กับแผนการทดลองแบบละตินไอลเปอร์คิวบ์ (Latin hypercube design: LHD) ซึ่ง LHD เป็นแผนการทดลองที่ถูกนำมาใช้อย่างแพร่หลายใน CSE เนื่องจากเป็นแผนการทดลองที่เน้นการกระจายจุดทดลองเพื่อเติมเต็มปริภูมิทดลอง (Space filling) ให้มากที่สุดและการกำหนดจำนวนจุดทดลอง (n) ที่จำนวนตัวแปรอิสระ (d) ต่างๆ ค่อนข้างยืดหยุ่น นั่นคือจำนวนจุดทดลอง มีได้หลายระดับ เพราะจำนวนจุดทดลองมีค่าเท่ากับจำนวนระดับของตัวแปรอิสระ อย่างไรก็ตาม การสร้างแผนการทดลองแบบ LHD ที่เหมาะสมในการนี้มีค่าปัญหามีขนาดใหญ่ขึ้นมากให้เกลานาน เนื่องจากมีจำนวนแผนการทดลองที่เป็นไปได้ทั้งหมดคือ $(n!)^d$

การสร้างแผนการทดลองที่เหมาะสมสำหรับ CSE ประกอบด้วย 2 วิธีคือ วิธีที่ 1 การสร้างแผนการทดลองแบบไม่ใช้ขั้นตอนวิธีการสืบค้น (Non-search based) การสร้าง แผนการทดลองแบบไม่ใช้ขั้นตอนวิธีการสืบค้น (Non-search based) การสร้าง แผนการทดลอง โดยวิธีนี้จะสร้างจากทฤษฎีทางคณิตศาสตร์หรือทางสถิติ ดังนั้นแผนการทดลองดังกล่าวจึงมีความยุ่งยากในการสร้างเนื่องจากจะต้องมีทฤษฎีมารองรับและจุดทดลองในบางกรณีไม่มีความยืดหยุ่น เช่น จำนวนจุดทดลองอาจเป็นจำนวนเฉพาะ จำนวนคู่หรือจำนวนคี่ เป็นต้น ดังระบุ ไว้ในงานวิจัยของ Tang (1993) ที่นำเสนอวิธีการสร้าง LHD โดยใช้格外ดับเชิงตั้งฉากระหว่าง สมมติของแผนการทดลองหรือเรียกว่าแผนการทดลองแบบละตินไอลเปอร์คิวบ์ที่สร้างจากหลักการ 格外ดับเชิงตั้งฉาก (Orthogonal array-based Latin hypercube design: OALHD) ซึ่งเป็นการ หาปริพันธ์เชิงตัวเลข (Numerical integration) โดยใช้วิธี蒙地卡罗法 (Monte Carlo method) ซึ่งเป็นวิธีการในการสร้างแผนการทดลองสำหรับ CSE ที่ได้รับความสนใจจากนักวิจัยเป็นจำนวนมาก มาก เนื่องจากแผนการทดลองของ Tang (1993) มีคุณสมบัติเชิงตั้งฉาก ซึ่งเป็นคุณสมบัติที่ใช้ได้ เวลานำไปสร้างตัวแบบทางสถิติ เพราะสามารถประมาณอิทธิพลของแต่ละตัวแปรอิสระได้อย่าง อิสระต่อกัน ข้อจำกัดของวิธีการสร้างแผนการทดลองของ Tang (1993) คือจุดทดลองไม่มี ความยืดหยุ่น กล่าวคือมิติปัญหาที่เป็นไปได้ของ OALHD จะขึ้นอยู่กับมิติปัญหาของ格外ดับ เชิงตั้งฉากอย่างสูงที่สามารถสร้างได้ Ye (1998) ใช้หลักการทำงานพีชคณิต (Algebraic method) ที่เรียกว่า ผลคูณของครอเนคเกอร์ (Kronecker product) ในการสร้างแผนการทดลองแบบละติน ไอลเปอร์คิวบ์เชิงตั้งฉาก (Orthogonal Latin hypercube design) วิธีดังกล่าวจะทำงานได้เป็นอย่างดี สำหรับการประยุกต์ใช้ใน CSE แต่มีข้อจำกัดคือ จำนวนจุดทดลองไม่ยืดหยุ่น นั่นคือจุดทดลองจะ ถูกจำกัดอยู่ที่ 2^d หรือ $2^d + 1$ สำหรับจำนวนตัวแปรอิสระคือ $2d - 2$ เท่านั้น และ Butler (2001) นำเสนอการสร้าง LHD แบบต่างๆ โดยใช้หลักการแปลงของวิลเลียม (William transformation) ข้อจำกัดของวิธีนี้คือ จุดทดลองจะต้องเป็นจำนวนคี่หรือจำนวนเฉพาะเท่านั้น ข้อดีของการสร้าง

แผนกราฟทดลองแบบไม่ใช้ขั้นตอนวิธีการสืบค้นคือ แต่ละสมก็จะอิสระต่อ กัน มีคุณสมบัติในการเติมเต็มจุดทดลองได้ดีและประหยัดเวลาในการค้นหาผลลัพธ์ของแผนกราฟทดลองที่เหมาะสมสมสำหรับแต่ละมิติปัญหาที่กำหนด

การสร้างแผนกราฟทดลองที่เหมาะสมสมสำหรับ CSE วิธีที่ 2 คือการสร้างแผนกราฟทดลอง โดยใช้ขั้นตอนวิธีการสืบค้น (Search based) การสร้างแผนกราฟทดลองโดยวิธีนี้จะเริ่มต้นจากการสร้างแผนกราฟทดลองแบบ LHD ที่ประกอบด้วย แผนกราฟทดลองแบบตินไอกอร์คิวบ์อย่างสุ่ม (Random Latin hypercube design: RLHD) แผนกราฟทดลองแบบตินไอกอร์คิวบ์ที่สมมาตร (Symmetric Latin hypercube design: SLHD) และ OALHD เป็นต้น จากนั้นจึงหาแผนกราฟทดลองที่เหมาะสมโดยใช้ขั้นตอนวิธีการสืบค้น เช่น ขั้นตอนวิธีรูปแบบสมดุล (Columnwise-pairwise algorithm: CP) ขั้นตอนวิธีการสืบค้นแบบซิมูเลทเทడแอนนิลิง (Simulated annealing algorithm: SA) และขั้นตอนวิธีการสืบค้นแบบเจนติก (Genetic algorithm: GA) เป็นต้น ควบคู่กับเกณฑ์การเลือกค่าเหมาะสม (Optimality criteria) ซึ่งหลักการแลกเปลี่ยนสมาชิก (Element exchange) เป็นหลักการนึงที่ถูกใช้ในขั้นตอนวิธีการสืบค้น หลักการดังกล่าวจะทำให้ได้แผนกราฟทดลองใหม่ โดยการสุ่มเลือกสมก์ของเมทริกซ์ของแผนกราฟทดลองมา 1 สมก์ จากนั้นจึงสุ่มเลือกແrewของสมก์ที่ถูกสุ่มเลือกมา 2 แล้วแล้วทำการสลับสมาชิก ข้อดีของวิธีนี้คือ เป็นเทคนิคที่สามารถค้นหาแผนกราฟทดลองที่เหมาะสมและมีคุณลักษณะที่ดีได้ โดยจะเน้นที่การเลือกค่าให้ครอบคลุมปริภูมิทดลองให้มากที่สุดและไม่จำเป็นต้องทำข้าค่าของจุดทดลอง ข้อจำกัดคือใช้เวลาในการค้นหาแผนกราฟทดลองที่เหมาะสม หากมิติใหญ่ขึ้นจะส่งผลให้ใช้เวลาในการค้นหานานยิ่งขึ้น งานวิจัยที่นำเสนอเกี่ยวกับการสร้างแผนกราฟทดลองที่เหมาะสมสมสำหรับ CSE โดยใช้ขั้นตอนวิธีการสืบค้น เช่น Ye, Li and Sudjianto (2000) นำเสนอการสร้าง SLHD เปรียบเทียบขั้นตอนวิธีของ Park (1994; Morris and Mitchell, 1995 (SA); Li and Wu, 1997 (CP)) ตลอดจนเปรียบเทียบ RLHD และ SLHD โดยใช้มิติของปัญหา 6 มิติที่แตกต่างกัน ผลลัพธ์ที่ได้จากการศึกษาพบว่า เมื่อพิจารณาคุณลักษณะของแผนกราฟทดลองจากค่าของเกณฑ์การเลือกค่าเหมาะสมโดยพิจารณาจากเกณฑ์เอนโทรพี (Entropy criteria) และเกณฑ์แม็กซิมิน (Maximin distance criteria) SLHD จะเป็นแผนกราฟทดลองที่ดีกว่า RLHD และขั้นตอนวิธีการสืบค้น SA จะมีประสิทธิภาพมากกว่า CP สำหรับแผนกราฟทดลองมิติขนาดใหญ่ส่วนแผนกราฟทดลองที่มีมิติขนาดเล็กขั้นตอนวิธีการสืบค้น CP มีประสิทธิภาพมากกว่า SA และ Rungrattanaubol and Na-udom (2007) ได้ทำการเปรียบเทียบประสิทธิภาพของขั้นตอนวิธีสืบค้น 2 แบบคือ SA และ GA ภายใต้เกณฑ์การเลือกค่าเหมาะสมคือ

เกณฑ์ ϕ_p ที่ใช้ในการสร้างแผนกราฟทดลองแบบ LHD ที่เหมาะสม ผลการวิจัยพบว่า SA มีประสิทธิภาพดีกว่า GA

นอกจากนี้ยังมีงานวิจัยที่ศึกษาด้านค่าวิเคราะห์กับการสร้างแผนกราฟทดลองสำหรับ CSE จากผู้วิจัยอื่นๆ สามารถสรุปได้ดังนี้ Leary, Bhaskar and Keane (2003) ได้ทำการศึกษาการสร้าง LHD โดยใช้แนวคิดของถ้าลำดับเชิงตั้งจาก (Orthogonal array: OA) ผลการศึกษาปรากฏว่า OALHD มีคุณสมบัติในการเติมเต็มปริภูมิทดลองได้ดีกว่า RLHD และ Na-udom (2007) ได้ทำการเปรียบเทียบประสิทธิภาพของแผนกราฟทดลองแบบ LHD ที่แตกต่างกันและนำแผนกราฟทดลอง ดังกล่าวมาสร้างตัวแบบ Kriging และพิจารณาค่าความแม่นยำในการพยากรณ์ โดยเกณฑ์ที่ใช้ในการเปรียบเทียบความแม่นยำในการพยากรณ์คือ รายการที่สองของค่าคาดเดลี่อนกำลังสองเฉลี่ย (Root mean squared error: RMSE) ผลการศึกษาที่ได้คือ SLHD และแผนกราฟทดลองแบบตัดนิ่น ไอกิร์คิวบ์เชิงตั้งจากที่สร้างจากหลักการแปลงของวิลด์เลียมจะเป็นแผนกราฟทดลอง ที่ดีกว่าแผนกราฟทดลองอื่น ๆ สำหรับมิติปัญหานานาดิลกและมิติปัญหานานาดิญี่ ตามลำดับ

จากการศึกษาข้างต้นจะเห็นได้ว่า RLHD, SLHD and OALHD ต่างก็มีข้อดีและข้อจำกัด ที่แตกต่างกัน ดังนั้นการวิจัยครั้งนี้จึงมีจุดมุ่งหมายที่จะศึกษาการสร้างแผนกราฟทดลองที่เหมาะสม ของ LHD ทั้ง 3 แบบคือ RLHD, SLHD และ OALHD ตามลำดับ ตลอดจนพิจารณาคุณลักษณะ ของแผนกราฟทดลองทั้ง 3 แผนกราฟทดลองจากค่าของเกณฑ์การเลือกค่าเหมาะสมได้แก่ เกณฑ์ ϕ_p , เกณฑ์เม็กซิมินและค่าเฉลี่ยของสหสัมพันธ์ระหว่างสdim กซ์ของแผนกราฟทดลอง (Mean of correlation between design columns) และเปรียบเทียบความแม่นยำในการพยากรณ์ของ ตัวแบบทางสถิติ 2 ตัวแบบคือ วิธีการพื้นผิวตอบสนอง (Response surface methodology: RSM) และตัวแบบ Kriging ที่สร้างจากข้อมูลที่ได้จากแผนกราฟทดลองทั้ง 3 แบบโดยพิจารณาจากค่า RMSE

จุดมุ่งหมายของการวิจัย

- เพื่อศึกษาการสร้างแผนกราฟทดลองแบบตัดนิ่นไอกิร์คิวบ์ที่เหมาะสมสำหรับการจำลอง การทดลองด้วยคอมพิวเตอร์ 3 แบบ ได้แก่ RLHD, SLHD และ OALHD
- เพื่อพิจารณาคุณลักษณะของแผนกราฟทดลองแบบตัดนิ่นไอกิร์คิวบ์ที่เหมาะสม ทั้ง 3 แบบสำหรับการจำลองการทดลองด้วยคอมพิวเตอร์จากค่าของเกณฑ์การเลือกค่าเหมาะสม ได้แก่ เกณฑ์ ϕ_p , เกณฑ์เม็กซิมิน และค่าเฉลี่ยของสหสัมพันธ์ระหว่างสdim กซ์ของแผนกราฟทดลอง
- เพื่อเปรียบเทียบความแม่นยำในการพยากรณ์ของตัวแบบทางสถิติคือ RSM และตัวแบบ Kriging ที่สร้างจากข้อมูลที่ได้จากแผนกราฟทดลองแบบ RLHD, SLHD และ OALHD

ความสำคัญของการวิจัย

1. ทราบถึงการสร้างและได้แผนกราฟทดลองแบบตินไฮเปอร์คิวบ์แบบต่าง ๆ ที่เหมาะสมสำหรับการจำลองการทดลองด้วยคอมพิวเตอร์
2. ทราบถึงแผนกราฟทดลองแบบตินไฮเปอร์คิวบ์ที่ดีที่สุดสำหรับการจำลองการทดลองด้วยคอมพิวเตอร์ในแต่ละมิติปัญหา
3. ทราบถึงความแม่นยำในการพยากรณ์ของตัวแบบทางสถิติที่สร้างจากข้อมูลที่ได้จากแผนกราฟทดลองแบบตินไฮเปอร์คิวบ์แบบต่าง ๆ
4. เพื่อเป็นแนวทางในการพิจารณาแก่ผู้ที่สนใจได้นำแผนกราฟทดลองแบบตินไฮเปอร์คิวบ์ที่เหมาะสมในแต่ละมิติปัญหาไปประยุกต์ใช้

ขอบเขตของการวิจัย

ในการวิจัยครั้งนี้ ผู้วิจัยได้กำหนดขอบเขตของการวิจัยดังนี้

1. กำหนดแผนกราฟทดลองแบบ LHD 3 แบบ ได้แก่ RLHD, SLHD, OALHD
2. หาแผนกราฟทดลองแบบ LHD ที่เหมาะสมทั้ง 3 แบบ โดยใช้ขั้นตอนวิธีการสืบค้น คือ SA ภายใต้เกณฑ์การเลือกค่าเหมาะสม คือ เกณฑ์ ϕ_p
3. กำหนดมิติปัญหาจากมิติปัญหาที่เป็นไปได้ของแطرิบิวต์ตั้งจากอย่างสูม (Random orthogonal array) ที่นำเสนอโดย Tang (1993; Bose and Bush, 1952) ดังตาราง 1 เมื่อจาก OALHD จะสร้างได้นั้นมิติปัญหาที่ใช้สร้างແກวลด้ำบเชิงตั้งจากอย่างสูม จะต้องสามารถสร้างได้ก่อน

ตาราง 1 แสดงมิติปัญหา

d	n
2	9
3	16
4	16
5	16
6	25
7	49
8	49

ตาราง 1 (ต่อ)

<i>d</i>	<i>n</i>
9	64
10	81

4. พิจารณาคุณลักษณะของแผนกราฟทดลองแบบ LHD ทั้ง 3 แบบสำหรับ CSE จากค่าของเกณฑ์การเลือกค่าเหมาะสม ได้แก่ เกณฑ์ ϕ_p , เกณฑ์เม็กซิมิน และค่าเฉลี่ยของสหสัมพันธ์ระหว่างสัดมูลของแผนกราฟทดลอง

5. กำหนดตัวแบบทางสถิติที่ใช้เปรียบเทียบความแม่นยำในการพยากรณ์คือ RSM และตัวแบบ Kriging ซึ่งเกณฑ์ที่ใช้ในการเปรียบเทียบคือ RMSE

6. สถิติที่ใช้ในการวิเคราะห์ข้อมูล ได้แก่ ค่าเฉลี่ย (Mean) ส่วนเบี่ยงเบนมาตรฐาน (Standard deviation: S.D.) สัมประสิทธิ์การแปรผัน (Coefficient of variation: C.V.) ค่าต่ำสุด (Minimum) และค่าสูงสุด (Maximum) ของ RMSE ในแต่ละมิติปัญหา

7. กำหนดปัญหาทดสอบ (Test problem) ที่ใช้เปรียบเทียบความแม่นยำในการพยากรณ์ของตัวแบบทางสถิติ 2 ตัวแบบที่สร้างจากข้อมูลที่ได้จากแผนกราฟทดลองแบบ LHD จำนวน 3 แบบ ซึ่งผู้วิจัยได้เลือกปัญหาทดสอบที่มีลักษณะแบบไม่เชิงเส้น (Non-linear problem) ดังแสดงในตาราง 2

ตาราง 2 แสดงปัญหาทดสอบ

<i>d</i>	แผนกราฟทดลอง	ปัญหา	พัฟ์ก์ชัน	จำนวนจุดทดสอบ
2	RLHD	Welch	$f(x_1, x_2) = [30 + x_1 \sin(x_1)](4 + e^{-x_2})$	81
	SLHD	function	$; 0 \leq x_1, x_2 \leq 5$	
	OALHD	(Welch et al., 1992)		
3	RLHD	3D function	$f(x_1, x_2, x_3) = (x_1 + x_2)^2 + (x_2 + x_3)^2$	500
	SLHD	(Hock and Schittkowski, 1981)	$; -10 \leq x_1, x_2, x_3 \leq 10$	
	OALHD			

ตาราง 2 (ต่อ)

<i>d</i>	แผนกร-	ปัญหา	ฟังก์ชัน	จำนวน	
				ทดลอง	จุดทดสอบ
4	RLHD	Pressure	$f(x_1, x_2, \dots, x_4) = 0.6224x_3x_1x_2 + 1.7781x_4x_1^2$	500	
	SLHD	vessel	$+ 3.1661x_3^2x_2 + 19.84x_3^2x_1$		
	OALHD	function (Simpson, 1998)	$; 25 \leq x_1 \leq 150, 25 \leq x_2 \leq 240, 1 \leq x_3 \leq 1.375$ $, 0.625 \leq x_4 \leq 1$		
5	RLHD	MS5 function	$f(x_1, x_2, \dots, x_5) = (x_1 - 1)^2 + (x_1 - x_2)^2$	500	
	SLHD	(ธรรมรัตน์ ธรรมชาติ, 2551)	$+ (x_2 - x_3)^3 + (x_3 - x_4)^4 + (x_4 - x_5)^4$		
	OALHD		$; -5 \leq x_1, x_2, \dots, x_4 \leq 5$		
6	RLHD	6D function	$f(x_1, x_2, \dots, x_6) = 174.42 \left(\frac{x_1}{x_5} \right) \left(\frac{x_3}{x_2 - x_1} \right)^{0.85} \times$	500	
	SLHD		$\sqrt{\frac{1 - 2.62 \left\{ 1 - 0.36 \left(x_4 / x_2 \right)^{-0.56} \right\}^{3/2} \left(x_4 / x_2 \right)^{1.16}}{0.75x_6}}$		
	OALHD		$; 0.09 \leq x_1 \leq 0.11, 0.27 \leq x_2 \leq 0.33,$ $0.09 \leq x_3 \leq 0.11, 0.09 \leq x_4 \leq 0.11,$ $1.35 \leq x_5 \leq 1.65, 14.4 \leq x_6 \leq 17.6$		
7	RLHD	Cyclone	$f(x_1, x_2, \dots, x_7) = 174.42 \left(\frac{x_1}{x_5} \right) \left(\frac{x_3}{x_2 - x_1} \right)^{0.85} \times$	500	
	SLHD	model	$\sqrt{\frac{1 - 2.62 \left\{ 1 - 0.36 \left(x_4 / x_2 \right)^{-0.56} \right\}^{3/2} \left(x_4 / x_2 \right)^{1.16}}{x_6x_7}}$		
	OALHD	(Ye, Li and Sudjianto, 2000)	$; 0.09 \leq x_1 \leq 0.11, 0.27 \leq x_2 \leq 0.33,$ $0.09 \leq x_3 \leq 0.11, 0.09 \leq x_4 \leq 0.11,$ $1.35 \leq x_5 \leq 1.65, 14.4 \leq x_6 \leq 17.6,$ $0.675 \leq x_7 \leq 0.825$		

ตาราง 2 (ต่อ)

<i>d</i>	แผนกรา-	ปัญหา	ฟังก์ชัน	จำนวน
				จุดทดสอบ
8	RLHD SLHD OALHD	Borehole function (Palmer and Tsui, 2001)	$f(x_1, x_2, \dots, x_8) = \frac{2\pi x_3(x_4 - x_6)}{\ln\left(\frac{x_2}{x_1}\right)\left[1 + \left[\frac{2x_7x_3}{\ln\left(\frac{x_2}{x_1}\right)x_1^2x_8} + \frac{x_3}{x_5}\right]\right]}$ $; 0.05 \leq x_1 \leq 0.15, 100 \leq x_2 \leq 50000,$ $63070 \leq x_3 \leq 115600, 990 \leq x_4 \leq 1110,$ $63.1 \leq x_5 \leq 116, 700 \leq x_6 \leq 820,$ $1120 \leq x_7 \leq 1680, 9855 \leq x_8 \leq 12045$	500
9	RLHD SLHD OALHD	9D function	$f(x_1, x_2, \dots, x_9) = \sum_{j=1}^9 \left[\frac{3}{10} + \sin\left(\frac{16}{15}x_j - 1\right) + \sin^2\left(\frac{16}{15}x_j - 1\right) \right] + 0.2828521801$ $;-1 \leq x_1, x_2, \dots, x_9 \leq 1$	500
10	RLHD SLHD OALHD	10D function (Mullur and Messac, 2006)	$f(x_1, x_2, \dots, x_{10}) = \sum_{j=1}^{10} \left[\frac{3}{10} + \sin\left(\frac{16}{15}x_j - 1\right) + \sin^2\left(\frac{16}{15}x_j - 1\right) \right] ; -1 \leq x_1, x_2, \dots, x_{10} \leq 1$	500

8. ข้อมูลที่ใช้ในการศึกษาได้จากการจำลองการทดลองด้วยคอมพิวเตอร์โดยใช้โปรแกรม R 2.10.1